

МОДЕЛИРОВАНИЕ НЕЛИНЕЙНЫХ ДИНАМИЧЕСКИХ ПРОЦЕССОВ ПЕРЕНОСА В ПОРИСТЫХ СРЕДАХ¹

Предложена модель нелинейных динамических процессов переноса в периодических пористых средах, основанная на методе асимптотического осреднения. Сформулирована так называемая локальная задача газовой динамики для описания локальных процессов переноса в одной поре и предложен приближенно-аналитический метод решения локальной задачи. Приведен пример численной реализации метода.

В настоящее время особый интерес представляют нелинейные высокоскоростные процессы переноса в пористых системах. Так, в связи с созданием динамических амортизирующих систем, основанных на принципе поглощения энергии за счет фазовых превращений, возникла проблема моделирования нелинейных высокоскоростных течений жидкости в пористых системах. Нелинейные процессы фильтрации в настоящее время практически еще не изучены, обычно применяются лишь эмпирические нелинейные модели, связывающие скорость с градиентом давления в пористой среде. В работах [1–4] предложен новый подход к нелинейным задачам газовой динамики в пористых системах, основанный на методе асимптотических разложений для уравнений в частных производных, заданных в областях с быстроосциллирующими границами [1, 5, 6]. Показано, что в отличие от линейных задач в пористых системах [7, 8], характерных для медленных процессов переноса, описание высокоскоростных течений основано на решении нелинейных связанных локальных и глобальных задач переноса. Для их решения необходима разработка специального нового метода, поскольку существующие методы расчета параметров локальных потоков [9] достаточно приближенны и, как правило, не учитывают таких важных особенностей течения, как периодичность потоков по границам ячеек периодичности, влияние геометрической формы поры и др. Цель настоящей работы — разработка нового метода решения, основанного на модели асимптотических приближений для нелинейных процессов переноса в пористых средах.

Математическая постановка задачи. Рассмотрим пористый материал периодической структуры (рис. 1), поры которого заполнены вязкой сжимаемой совершенной жидкостью (газом).

¹Работа выполнена при поддержке РФФИ, проект № 06-08-01448а.

Введем следующие обозначения: l_0 — характерный линейный размер ячейки периодичности (ЯП) V_ξ ; x_0 — характерный глобальный размер всей пористой области V ; t_0 — характерное время; $v_0 = x_0/t_0$ — характерная скорость; $\kappa = l_0/x_0 \ll 1$ — малый параметр; $\xi = \bar{x}/\kappa$ — безразмерные локальные координаты, изменяющиеся в пределах ячейки периодичности V_ξ ; $\bar{x} = \mathbf{x}/x_0$ — глобальные координаты.

Движение вязкого нетеплопроводного газа в пористой среде, занимающей область V , в рамках сделанных допущений описывается системой уравнений Навье–Стокса, которая в безындексной форме вместе с условиями прилипания на твердой поверхности имеет следующий вид:

$$\left\{ \begin{array}{l} \frac{\partial \rho}{\partial t} + \nabla_{\bar{x}} \cdot \rho \mathbf{v} = 0, \quad \bar{x} \in V; \\ \frac{\partial \rho \mathbf{v}}{\partial t} + \nabla_{\bar{x}} \cdot (\rho \mathbf{v} \otimes \mathbf{v} + p \mathbf{E}) = \nabla_{\bar{x}} \cdot \boldsymbol{\sigma}_v; \\ \frac{\partial}{\partial t} \rho \left(e + \frac{v^2}{2} \right) + \nabla_{\bar{x}} \cdot \rho \mathbf{v} \left(e + \frac{v^2}{2} + \frac{p}{\rho} \right) = \nabla_{\bar{x}} \cdot (\boldsymbol{\sigma}_v \cdot \mathbf{v}); \\ \boldsymbol{\sigma}_v = \mu_1 (\nabla_{\bar{x}} \cdot \mathbf{v}) \mathbf{E} + \mu_2 (\nabla_{\bar{x}} \otimes \mathbf{v} + \nabla_{\bar{x}} \otimes \mathbf{v}^T); \\ p = R\rho\theta; \quad e = c_V\theta; \quad \mathbf{v}|_{\Sigma} = 0, \end{array} \right. \quad (1)$$

где $\rho, \mathbf{v}, p, e, \theta$ — плотность, вектор скорости, давление, внутренняя энергия и температура жидкости; $\boldsymbol{\sigma}_v$ — тензор вязких напряжений;

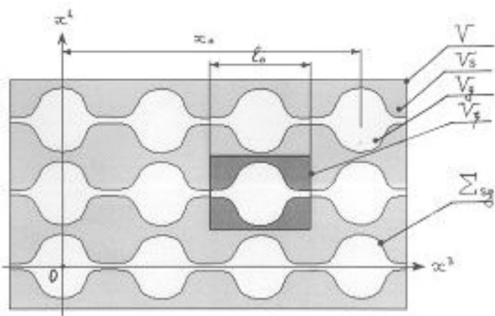


Рис. 1. Схема периодической структуры пористого материала

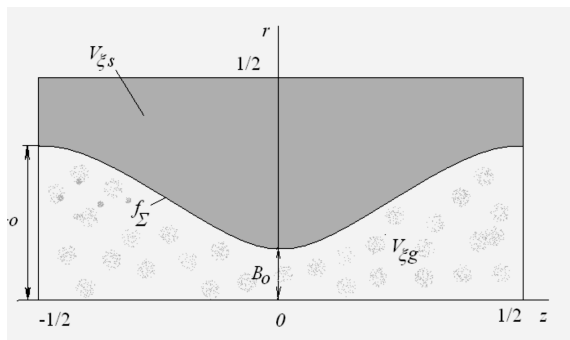


Рис. 2. Ячейка периодичности V_ξ пористого материала

μ_1, μ_2 — коэффициенты вязкости, которые полагаются “малыми”, т.е. представимыми в виде $\mu_\alpha = \mu_\alpha^0 \kappa^2$; c_V, R — соответственно теплоемкость при постоянном объеме и газовая постоянная; ∇_x — оператор Гамильтона, который в декартовом базисе имеет следующий вид [10]: $\nabla_x = \partial/\partial \mathbf{x} = \mathbf{e}^i \partial/\partial x^i$.

Все функции $\Omega = \{\rho, \mathbf{v}, \theta, \dots\}$, входящие в систему (1), полагаются квазипериодическими, т.е. они зависят от трех аргументов: $\Omega = \Omega(\bar{\mathbf{x}}, \boldsymbol{\xi}, t)$ [1], $\bar{\mathbf{x}} \in V$, $\boldsymbol{\xi} \in V_\xi$ “медленно” изменяются относительно аргумента $\bar{\mathbf{x}}$ и являются однопериодическими по второму аргументу $\boldsymbol{\xi}$: $\Omega\left(\bar{\mathbf{x}}, \xi^1, \xi^2, -\frac{1}{2}, t\right) = \Omega\left(\bar{\mathbf{x}}, \xi^1, \xi^2, \frac{1}{2}, t\right)$ и т.д. для всех ξ^i . Условия периодичности далее обозначаются как $[[\Omega]] = 0$. Дифференцирование квазипериодических функций выполняется в соответствии с правилом дифференцирования сложной функции:

$$\nabla_x \Omega(\bar{\mathbf{x}}, \boldsymbol{\xi}, t) \rightarrow \nabla_{\bar{\mathbf{x}}} \Omega(\bar{\mathbf{x}}, \boldsymbol{\xi}, t) + \frac{1}{\kappa} \nabla_{\boldsymbol{\xi}} \Omega(\bar{\mathbf{x}}, \boldsymbol{\xi}, t), \quad (2)$$

где $\nabla_{\bar{\mathbf{x}}}, \nabla_{\boldsymbol{\xi}}$ — операторы Гамильтона по координатам $\bar{\mathbf{x}}$ и $\boldsymbol{\xi}$ соответственно.

Введем оператор среднего значения $\langle \cdot \rangle$ по ЯП V_ξ для квазипериодических по локальным координатам $\boldsymbol{\xi} \in V_\xi$ функций Ω [1]:

$$\langle \Omega \rangle = \frac{1}{\varphi_q |V_\xi|} \int_{V_\xi} \Omega d\tilde{V}_{\xi q}, \quad (3)$$

где $\varphi_q = \frac{1}{|V_\xi|} \int_{V_{\xi q}} d\tilde{V}_{\xi q}$ — объемная доля жидкости в ЯП (пористость), а $|V_\xi|$ — объем ЯП V_ξ .

В соответствии с методом асимптотического осреднения ([4]) функции системы уравнений (1) представляются асимптотическими рядами по малому параметру κ :

$$\Omega(\bar{\mathbf{x}}, \boldsymbol{\xi}, t) = \Omega^{(0)}(\bar{\mathbf{x}}, \boldsymbol{\xi}, t) + \kappa \Omega^{(1)}(\bar{\mathbf{x}}, \boldsymbol{\xi}, t) + \kappa^2 \Omega^{(2)}(\bar{\mathbf{x}}, \boldsymbol{\xi}, t) + \dots \quad (4)$$

Используя правила дифференцирования сложной функции (3), путем подстановки выражений (4) в систему уравнений (1) и приведения слагаемых при одинаковых степенях малого параметра κ получаем последовательность так называемых локальных задач газовой динамики на ЯП V_ξ . Собирая члены при степени κ^{-1} , получаем локальную задачу газовой динамики нулевого уровня на ячейке периодичности:

$$\left\{ \begin{array}{l} \nabla_{\xi} \cdot \rho^{(0)} \mathbf{v}^{(0)} = 0; \\ \nabla_{\xi} \cdot (\rho^{(0)} \mathbf{v}^{(0)} \otimes \mathbf{v}^{(0)} + p^{(0)} \mathbf{E}) = 0; \\ \nabla_{\xi} \cdot \left(\rho^{(0)} \left(c_V \theta^{(0)} + \frac{v^{(0)2}}{2} \right) + p^{(0)} \right) \mathbf{v}^{(0)} = 0; \\ p^{(0)} = R \rho^{(0)} \theta^{(0)}, \quad \boldsymbol{\xi} \in V_{\xi g}; \quad \mathbf{v}^{(0)} \cdot \mathbf{n}^{(0)} = 0, \quad \boldsymbol{\xi} \in \Sigma_{\xi s g}; \quad [[\Omega]] = 0; \\ \langle \rho^{(0)} \mathbf{v}^{(0)} \rangle = \bar{\rho} \bar{\mathbf{v}}, \quad \langle \rho^{(0)} \rangle = \bar{\rho}, \quad \langle \theta^{(0)} \rangle = \bar{\theta}, \end{array} \right. \quad (5)$$

в которой неизвестными функциями являются плотность $\rho_g^{(0)}$, вектор скорости $\mathbf{v}_g^{(0)}$ и температура $\theta_g^{(0)}$ в нулевом приближении. Задача (5) похожа на исходную (1), однако отличается от нее тем, что: 1) решение ищется только на ячейке периодичности, поэтому кроме условий на твердой поверхности в задачу (5) входят условия периодичности; 2) вследствие малости вязкости задача (5) не содержит вязких напряжений, т.е. она представляет собой систему уравнений Эйлера; 3) задача (5) относится к установившимся процессам, так как не содержит производных по t . Кроме того, к задаче (5) присоединяются дополнительные условия нормировки — условия на средние значения функций, где величины $\bar{\rho}(\bar{\mathbf{x}}, t)$, $\bar{\mathbf{v}}(\bar{\mathbf{x}}, t)$ и $\bar{\theta}(\bar{\mathbf{x}}, t)$ представляют собой средние по ЯП плотность, вектор скорости и температура жидкости. Они являются внешними данными задачи (5), т.е. полагаются заданными и зависят только от глобальных координат $\bar{\mathbf{x}}$ и t . Вследствие условий нормировки задача (5) относится к интегродифференциальному типу. Это обстоятельство, а также наличие условий периодичности затрудняет применение большинства широко распространенных численных методов решения локальной задачи газовой динамики (5). Ее решение к настоящему времени удалось получить только для очень простой геометрической формы поры — цилиндра [2].

Далее рассмотрен новый метод нахождения численно-аналитического решения задачи (5) для ЯП с криволинейной геометрией пор.

Система уравнений Эйлера (5) допускает два первых интеграла — адиабату Пуассона и интеграл Бернулли вдоль линии тока. Следовательно, в нулевом приближении локальный процесс переноса в поре является адиабатическим, а задача (5) путем стандартных преобразований [11] может быть представлена в эквивалентном виде:

$$\left\{ \begin{array}{l} \nabla_{\xi} \cdot \rho^{(0)} \mathbf{v}^{(0)} = 0; \\ \mathbf{v}^{(0)} \times (\nabla_{\xi} \times \mathbf{v}^{(0)}) = \nabla_{\xi} i^*; \\ \frac{v^2}{2} + c_p \theta = \frac{v_*^2}{2} + c_p \theta^* = i^* \\ \frac{p^{(0)}}{p_*} = \left(\frac{\rho^{(0)}}{\rho_*} \right)^{\gamma}, \quad \frac{\theta^{(0)}}{\theta_*} = \left(\frac{\rho^{(0)}}{\rho_*} \right)^{\gamma-1}; \\ \mathbf{v}^{(0)} \cdot \mathbf{n}^{(0)} = 0, \quad \xi \in \Sigma_{\xi s g}; \quad [[\Omega]] = 0; \\ \langle \rho^{(0)} \mathbf{v}^{(0)} \rangle = \bar{\rho} \bar{\mathbf{v}}, \quad \langle \rho^{(0)} \rangle = \bar{\rho}, \quad \langle \theta^{(0)} \rangle = \bar{\theta}. \end{array} \right. \quad (6)$$

Первое уравнение системы (6) — уравнение неразрывности, второе — векторное уравнение установившегося движения газа в форме Громеки–Лемба, третье — интеграл Бернулли, четвертое и пятое — адиабата Пуассона и уравнение баротропии (оба являются следствием уравнения энергии и уравнения состояния). В системе (5) независимы только шесть скалярных уравнений. Здесь введены обозначения: p_* , ρ_* , θ_* , v_* , i_* — постоянные интегрирования, входящие в число неизвестных (независимы из них только три), и зависящие от линии тока; $v = |\mathbf{v}^{(0)}|$ — модуль вектора скорости. Для постоянных интегрирования справедливы соотношения

$$p^* = \rho^* c_p \theta^{\frac{\gamma-1}{\gamma}}, \quad \gamma = \frac{c_p}{c_V}, \quad R = c_p - c_V. \quad (7)$$

Осесимметричная локальная задача. В ЯП V_{ξ} кроме указанных выше локальных декартовых координат ξ^i введем цилиндрические локальные координаты r , ψ , z , связанные с ξ^i соотношениями [10] $\xi^1 = r \cos \psi$; $\xi^2 = r \sin \psi$; $\xi^3 = z$ ($\mathbf{e}_r, \mathbf{e}_{\psi}, \mathbf{e}_z$ — физический базис цилиндрической системы координат). Положим далее, что пара в ЯП имеет осесимметричную форму с осью симметрии Oz и обозначим $r = f_{\Sigma}(z)$ функцию формы поверхности $\Sigma_{\xi s g}$ контакта жидкости с твердым телом в ЯП. В цилиндрической системе координат формула (3) примет вид

$$\langle \Omega \rangle = \frac{2\pi}{|V_{\xi g}|} \int_0^{f_{\Sigma}} \int_{-1/2}^{1/2} \Omega(r, z) r dr dz. \quad (8)$$

Положим, что входные данные задачи (5) согласованы с осесимметричной одноканальной структурой пор, т.е. являются одномерными и соответствуют течению жидкости в направлении оси Oz : $\bar{\rho}(\bar{x}^3, t)$, $\bar{\mathbf{v}} = \bar{v}_z(\bar{x}^3, t) \mathbf{e}_z$ и $\bar{\theta}(\bar{x}^3, t)$. В этом случае решение задачи (6) также будет обладать осевой симметрией: $\rho^{(0)}(r, z)$, $\mathbf{v}^{(0)} = v_r^{(0)}(r, z) \mathbf{e}_r + v_z^{(0)}(r, z) \mathbf{e}_z$ и $\theta^{(0)}(r, z)$, т.е. будет зависеть от двух координат: r и z .

Введем безразмерные неизвестные функции в задаче (6):

$$\tilde{\rho} = \frac{\rho^{(0)}}{\bar{\rho}}; \quad \tilde{\theta} = \frac{\theta^{(0)}}{\bar{\theta}}; \quad \tilde{v}_r = \frac{v_r^{(0)}}{\bar{a}}; \quad \tilde{v}_z = \frac{v_z^{(0)}}{\bar{a}}, \quad (9)$$

где $\bar{a} = \sqrt{\gamma R \bar{\theta}}$ – осредненная скорость звука жидкости. Тогда задача (6) в цилиндрической системе координат принимает вид

$$\left\{ \begin{array}{l} \frac{\partial(\tilde{\rho}\tilde{v}_z)}{\partial z} + \frac{\partial(\tilde{\rho}\tilde{v}_r)}{\partial r} + \frac{\tilde{\rho}\tilde{v}_r}{r} = 0; \\ \left(\frac{\partial\tilde{v}_r}{\partial z} - \frac{\partial\tilde{v}_z}{\partial r}\right)\tilde{v}_z = \frac{\partial\tilde{i}^*}{\partial r}; \\ -\left(\frac{\partial\tilde{v}_r}{\partial z} - \frac{\partial\tilde{v}_z}{\partial r}\right)\tilde{v}_r = \frac{\partial\tilde{i}^*}{\partial z}; \\ \frac{\tilde{v}^2}{2} + \gamma_1\tilde{\theta} = \frac{\tilde{v}_r^{*2}}{2} + \gamma_1\tilde{\theta}^* = \tilde{i}^*; \\ \frac{\tilde{p}}{\tilde{p}^*} = \frac{\tilde{\rho}\tilde{\theta}}{\tilde{\rho}^*\tilde{\theta}^*}; \quad \frac{\tilde{\theta}}{\tilde{\theta}^*} = \left(\frac{\tilde{\rho}}{\tilde{\rho}^*}\right)^{\gamma-1}; \\ \langle\tilde{\rho}\tilde{v}_r\rangle = 0, \quad \langle\tilde{\rho}\tilde{v}_z\rangle = \bar{M}, \quad \langle\tilde{\rho}\rangle = 1; \\ \langle\tilde{\theta}\rangle = 1; \quad (\tilde{v}_r n_r + \tilde{v}_z n_z)|_{\Sigma_{\xi s g}} = 0, \end{array} \right. \quad (10)$$

где $\gamma_1 = \gamma/(\gamma-1)$; $\tilde{v}^2 = \tilde{v}_r^2 + \tilde{v}_z^2$; $\bar{M} = \bar{v}_z/\bar{a}$ – усредненное число Маха. Интегральное условие $\langle\tilde{\rho}\tilde{v}_r\rangle = 0$ задачи (10) связано с одноканальной структурой макропор, так как $\bar{v}_r = 0$.

Задача (10) содержит только один внешний параметр – безразмерное число Маха \bar{M} и одну константу γ_1 , следовательно, ее решение можно представить в следующем обобщенном виде:

$$\Omega_\beta = \Omega_\beta(\xi^i, \gamma_1, \bar{M}), \quad (11)$$

где $\Omega_\beta = \{\tilde{\rho}, \tilde{v}_r, \tilde{v}_z, \tilde{\theta}\}$. Предположим теперь, что получено решение задачи (10) для нескольких значений чисел Маха \bar{M} : $\bar{M}_0 < \bar{M}_1 < \dots < \bar{M}_\alpha < \dots < \bar{M}_n$, т.е. определен $n+1$ набор функций вида (11), а именно $\Omega_{\beta\alpha} = \Omega_{\beta\alpha}(\xi^i, \gamma_1, \bar{M}_\alpha)$. Тогда для произвольного значения \bar{M}_α , $\alpha = \overline{0, n}$, можно использовать сплайн-интерполяцию, например, третьей степени

$$\Omega_\beta(\xi^i, \gamma_1, \bar{M}) = \sum_{\omega=0}^3 \Omega_{\beta\omega}(\xi^i, \gamma_1) \bar{M}^\omega, \quad (12)$$

где

$$\Omega_{\beta\omega}(\xi^i, \gamma_1) = \Omega_{\beta\omega\alpha}(\xi^i, \gamma_1), \quad \text{если } \bar{M}_{\alpha-1} < \bar{M} < \bar{M}_\alpha, \quad (13)$$

$$\omega = \overline{0, 3}, \quad \beta = \overline{1, 4}, \quad \alpha = \overline{1, n}.$$

При фиксированных значениях ξ^i и γ_1 коэффициенты $\Omega_{\beta\omega\alpha}(\xi^i, \gamma_1)$ находятся стандартным способом вычисления сплайн-функций. Такой метод решения локальной задачи предполагает, что задача (10) решается n раз, затем в памяти ЭВМ формируются и хранятся $16n$ двумерных массивов $\Omega_{\beta\omega\alpha}(\xi^i, \gamma_1)$ для каждого значения параметра γ_1 .

Отметим, что для нахождения осредненной скорости $\bar{v}(\bar{x}, t)$ жидкости в методе формулируется специальная осредненная задача [2, 3]. В силу нелинейности локальной (10) и осредненной задач, они, вообще говоря, связаны и формально должны быть решены совместно. В предложенном методе оказывается возможным “развязывание” указанных задач за счет создания банков данных с решением локальной задачи (10), в которых накапливаются массивы $\Omega_{\beta\omega\alpha}(\xi^i, \gamma_1)$ для различных значений γ_1 и геометрических форм пор, а затем проводится решение осредненной задачи с использованием этих банков данных.

Метод решения локальной задачи. Для решения задачи (10) применим следующий приближенный метод, который основан на следующих допущениях:

1. Все трубки тока в поре в ЯП пропорциональны поверхности $\Sigma_{\xi sg}$ контакта поры с твердой фазой $r = f_{\Sigma}(z)$, т.е. имеют вид $r = f_r(z) = f_{\Sigma}(z)r/A_0$, где A_0 — радиус поры при $z = -1/2$.

2. Модуль вектора скорости \tilde{v} зависит только от осевой координаты z : $\tilde{v} = v(z)$ (здесь и далее, для простоты, символ “ \sim ” опущен).

3. Вместо уравнения неразрывности рассматриваем интегральное уравнение закона сохранения массы для произвольной подобласти $V'_{\xi} \subset V_{\xi}$:

$$\int_{V'_{\xi}} \nabla_{\xi} \cdot \rho v dV_{\xi} = 0.$$

Компоненты вектора скорости имеют вид

$$v_r = v(z) \sin \varphi(r, z); \quad v_z = v(z) \cos \varphi(r, z). \quad (14)$$

Здесь $\varphi(r, z)$ — угол между касательной к линии тока и осью Oz , который в силу допущения 1 является известной величиной и определяется только функцией $f_r(z)$ по формулам [10]:

$$\sin \varphi(r, z) = \frac{1}{\sqrt{1 + (f'_r(z))^2}}; \quad \cos \varphi(r, z) = \frac{f'_r(z)}{\sqrt{1 + (f'_r(z))^2}}. \quad (15)$$

Модуль вектора скорости $v = v(z)$ является неизвестной функцией и подлежит определению. Выбирая в качестве V'_{ξ} часть всей ЯП, ограниченную плоскостями $z = \text{const}$, с учетом граничных условий на твердой стенке и допущений 1 и 3 получаем, как и в стандартной одномерной теории, условие постоянства скоростного напора жидкости

в каждом сечении ЯП:

$$\int_0^{f_\Sigma} \rho(z) v_z(r, z) r dr = \bar{Q} = \text{const}, \quad \forall z. \quad (16)$$

Проинтегрируем уравнение (16) по z от $-1/2$ до $1/2$ и умножим получившееся выражение на $1/|V_{\xi g}|$, тогда с учетом интегрального условия $\langle \tilde{\rho} \tilde{v}_z \rangle = \bar{M}$ системы (10) получим

$$\bar{M} = \langle \rho v_z \rangle = \frac{2\pi}{|V_{\xi}|} \int_{-1/2}^{1/2} \rho(z) v(z) \int_0^{f_\Sigma} \cos \varphi(r, z) r dr dz = \frac{\bar{Q}}{|V_{\xi}|}. \quad (17)$$

Отсюда находим, что $\bar{Q} = \bar{M} |V_{\xi g}|$.

Пусть L — линия тока в ЯП V_ξ (см. рис. 2), начинающаяся от плоскости $z = -1/2$. Выберем два сечения ЯП, для которых $z = -1/2$ и $z = \text{const}$. Выберем в качестве значений $p_*, \rho_*, \theta_*, v_*, i^*$ газодинамические параметры, соответствующие плоскости $z = -1/2$, тогда вдоль линии тока L из интеграла Бернулли, уравнения баротропии и адиабаты Пуассона системы (10) получим следующие соотношения:

$$\frac{\theta}{\theta^*} = \frac{v_{\max}^2 - v^2}{v_{\max}^2 - v_*^2}; \quad (18)$$

$$\frac{\rho}{\rho^*} = \left(\frac{v_{\max}^2 - v^2}{v_{\max}^2 - v_*^2} \right)^{1/(\gamma-1)}; \quad (19)$$

$$\frac{p}{p^*} = \left(\frac{\rho}{\rho^*} \right)^\gamma = \left(\frac{v_{\max}^2 - v^2}{v_{\max}^2 - v_*^2} \right)^{\gamma/(\gamma-1)}. \quad (20)$$

Здесь v_{\max} обозначено максимальное значение модуля вектора скорости, которое достигается на линии тока

$$v_{\max} = \sqrt{2\gamma_1 \theta^* + v_*^2}. \quad (21)$$

Из формул (18)–(20) следует, что температура, плотность и давление в поре не зависят от координаты r , они зависят только от z , поскольку определяются модулем вектора скорости. Из формул (18)–(20) также получаем

$$\begin{cases} \theta = \theta^* G(v); & p = p^* H(v); \\ \rho = \rho^* \tilde{F}(v); & \rho^* = \rho F(v), \end{cases} \quad (22)$$

где обозначены функции модуля вектора скорости:

$$F(v) = \left(\frac{v_{\max}^2 - v_*^2}{v_{\max}^2 - v^2} \right)^{1/(\gamma-1)}; \quad (23)$$

$$\tilde{F}(v) = 1/F(v); \quad G(v) = [F(v)]^{1-\gamma}; \quad H(v) = [F(v)]^{-\gamma}.$$

Выражая v_{\max} через θ^* по формуле (21), приходим к следующему представлению функции $F(v)$:

$$F(v) = F(v, \theta^*, v_*) = \left(\frac{2\gamma_1\theta^*}{2\gamma_1\theta^* + v_*^2 - v^2} \right)^{1/(\gamma-1)}. \quad (24)$$

Применяя оператор осреднения (8) к первому и третьему выражениям в (22), с учетом интегральных условий из (10) для ρ, θ получаем, что должны выполняться следующие соотношения:

$$\begin{cases} \theta^* \langle G(v) \rangle = 1; \\ \rho^* \langle \tilde{F}(v) \rangle = 1, \end{cases} \quad (25)$$

поскольку θ^* и ρ^* не зависят от z . Кроме того, имеет место следующее соотношение, вытекающее из (16) и (22):

$$S(z) = \bar{M} |V_{\xi g}| F(v) / (\rho^* v), \quad (26)$$

где $S(z) = 2\pi \int_0^{f_{\Sigma}(z)} \cos \varphi(r, z) r dr$. Таким образом, имеем систему уравнений (25) и (26) относительно трех неизвестных констант (ρ^*, θ^*, v_*) и функции $v(z)$. Исключая из этой системы ρ^* с помощью второго соотношения (25), приходим к следующей системе:

$$\begin{cases} 1 - \theta^* \langle G(v) \rangle = 0; \\ \bar{M} |V_{\xi g}| - \frac{v_* S(-1/2)}{\langle \tilde{F}(v) \rangle} = 0; \\ \bar{M} |V_{\xi g}| F(v) - \frac{v S}{\langle \tilde{F}(v) \rangle} = 0. \end{cases} \quad (27)$$

Здесь второе уравнение получено из третьего для $z = -1/2$, при котором $F(v) = F(v_*) = 1$ согласно (23). После определения величин θ^*, v_* и v плотность ρ^* вычисляем по второй из формул, а p^* по формуле (7). Плотность ρ , температура θ и давление p определяем по формулам (22).

Анализ решения локальной задачи. В зависимости от геометрии поровой области $V_{\xi g}$, величины осредненного числа Маха \bar{M} и коэффициента Пуассона γ можно получать различные решения локальной

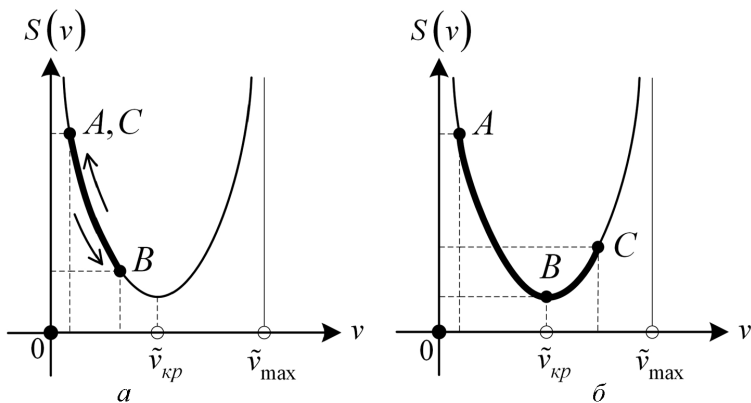


Рис. 3. Решения для дозвукового (а) и сверхзвукового (б) течения

задачи (10) — для дозвукового и сверхзвукового течения. Для рассмотрения этих решений рассмотрим третье уравнение в (27), из которого следует, что

$$S(v) = \bar{M} |V_{\xi g}| F(v) \langle \tilde{F}(v) \rangle_g / v. \quad (28)$$

Функция зависимости площади сечения S поровой области $V_{\xi g}$ от модуля скорости v имеет локальный минимум в точке $v = \tilde{v}_{kp} = [(\gamma - 1)/(\gamma + 1)]^{1/2} \tilde{v}_{max}$ (левее и правее которой ветви кривой направлены вверх, пересечений с осью абсцисс нет) и две асимптоты: $v = 0$ и $v = \tilde{v}_{max}$.

Если в поре реализуется дозвуковой режим течения, то скорости частиц жидкости лежат на левой ветви кривой $S(v)$, газодинамические параметры — периодические функции локальной координаты z (рис. 3, а). Если же в поре течение становится сверхзвуковым, то периодического решения локальной задачи (10) не существует. Иначе говоря, трансзвуковое решение является переходным. Наличие перехода определяется значением массового расхода \bar{Q} и функцией $S(z)$.

Численный метод решения локальной задачи. Для численного решения системы уравнений (27), фактически представляющей собой нелинейное интегральное уравнение относительно функции $v(z)$, введем на отрезке $[-1/2; 1/2]$ оси Oz сетку узлов $z_m = -1/2 + m/n, m = 0, \dots, n, n$ — целое число. Тогда разностная аппроксимация оператора осреднения (8) для случая функции $\Omega(z)$, зависящей только от z , будет иметь следующий вид:

$$\langle \Omega \rangle \approx \frac{\pi h}{2|V_{\xi g}|} \sum_{m=1}^n [\Omega_{m-1} f_{\Sigma}^2(z_{m-1}) + \Omega_m f_{\Sigma}^2(z_m)], \quad (29)$$

где $h = z_m - z_{m-1}$.

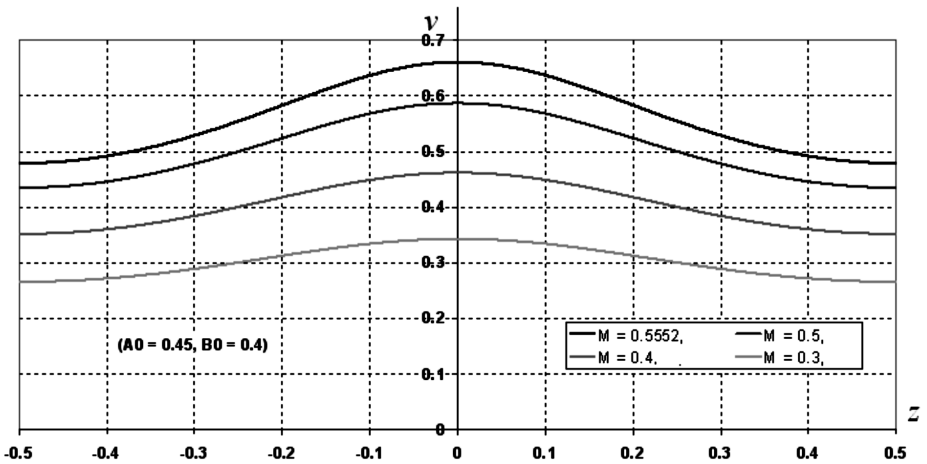
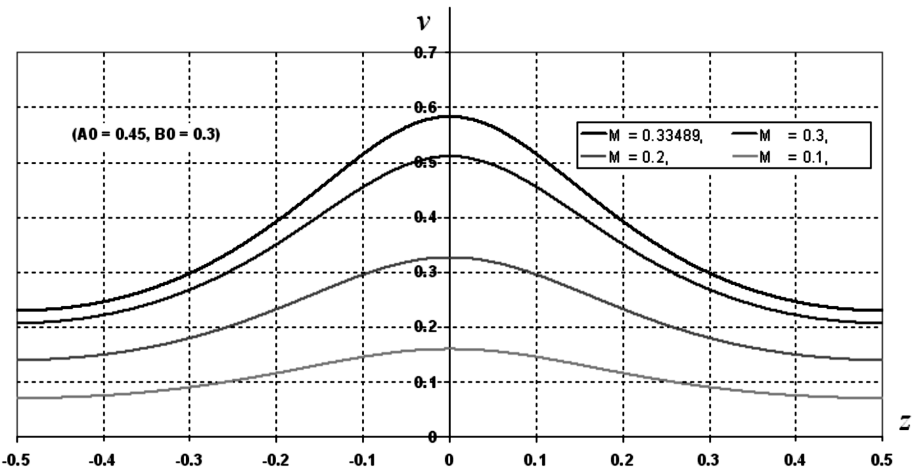
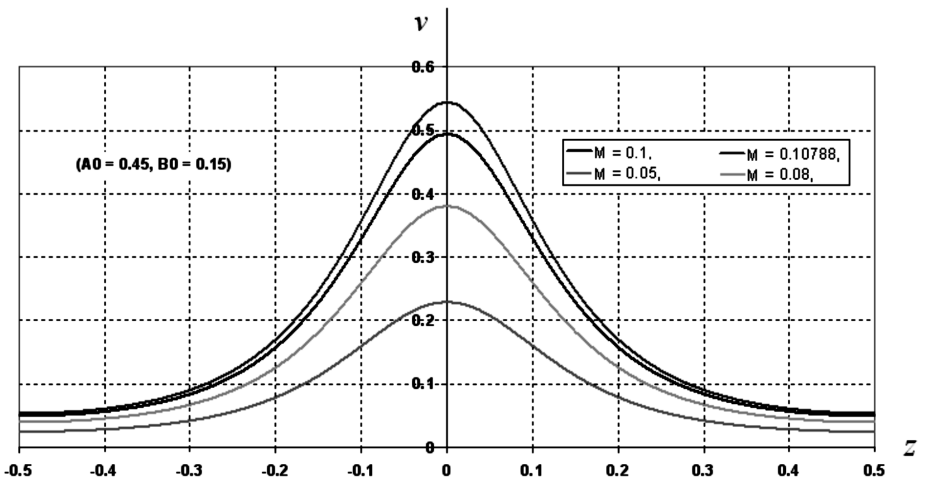


Рис. 4. Зависимость безразмерного модуля скорости v от осевой координаты поры z для различных чисел M и значений геометрических параметров A_0, B_0

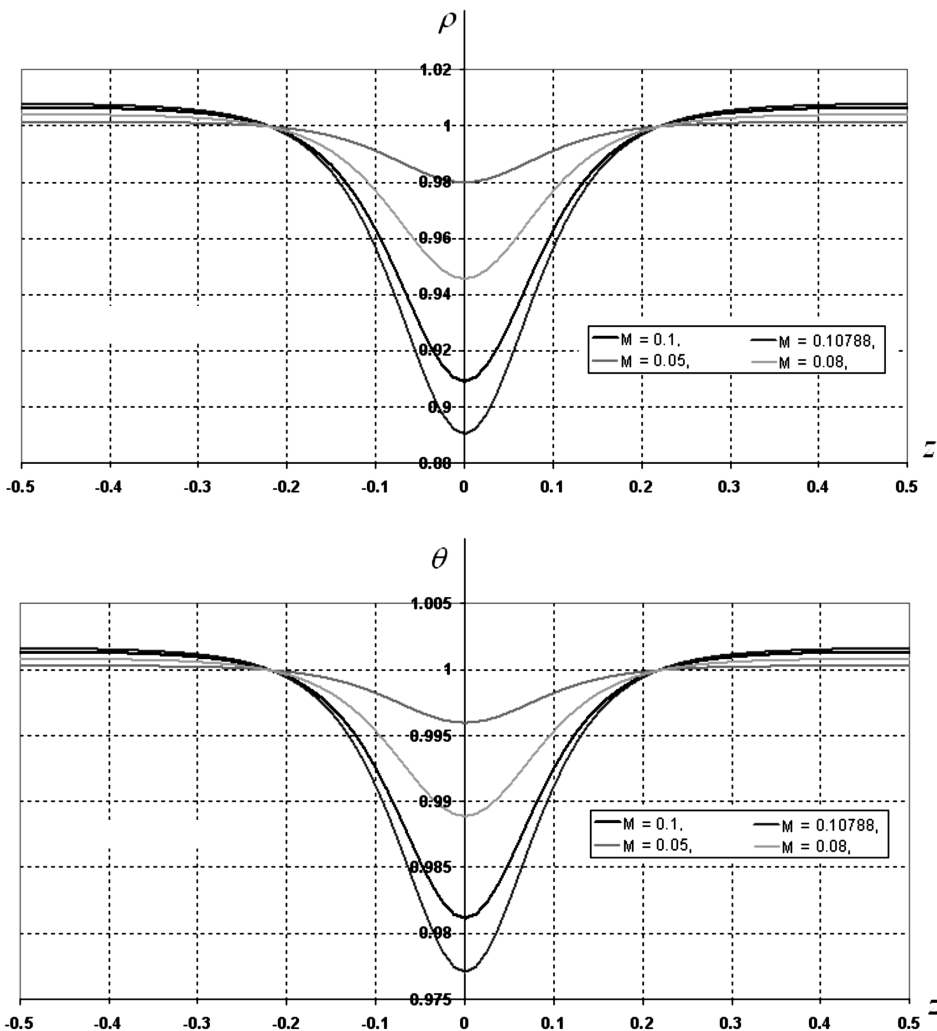


Рис. 5. Зависимость безразмерной плотности ρ и температуры θ от осевой координаты поры z для различных чисел M и значений геометрических параметров $A_0 = 0,45$, $B_0 = 0,15$

сти $V_{\xi g}$ была выбрана в виде $f_{\Sigma}(z) = \frac{A_0 + B_0}{2} - \frac{A_0 - B_0}{2} \cos(2\pi z)$, где $z \in [-1/2; 1/2]$; $A_0 = \text{const}$, $B_0 = \text{const}$, для которых $0 < B_0 \leq A_0 \leq 1/2$.

На рис. 4 и 5 приведены результаты решения локальной задачи (10) для различных значений осредненных чисел Маха $\bar{M} \in (0; \bar{M}_{\max}]$, где \bar{M}_{\max} — верхняя грань допустимого множества $(0; \bar{M}_{\max}]$ чисел Маха \bar{M} , при которых периодическое решение существует, если геометрическая форма поровой области $V_{\xi g}$ фиксирована. Так, для $A_0 = 0,45$ и $B_0 = 0,15$ $\bar{M}_{\max} = 0,10788$, для $A_0 = 0,45$ и $B_0 = 0,3$ $\bar{M}_{\max} = 0,33489$.

На рис. 6 на плоскости значений (A_0, B_0) геометрических параметров поры показаны области существования периодического решения

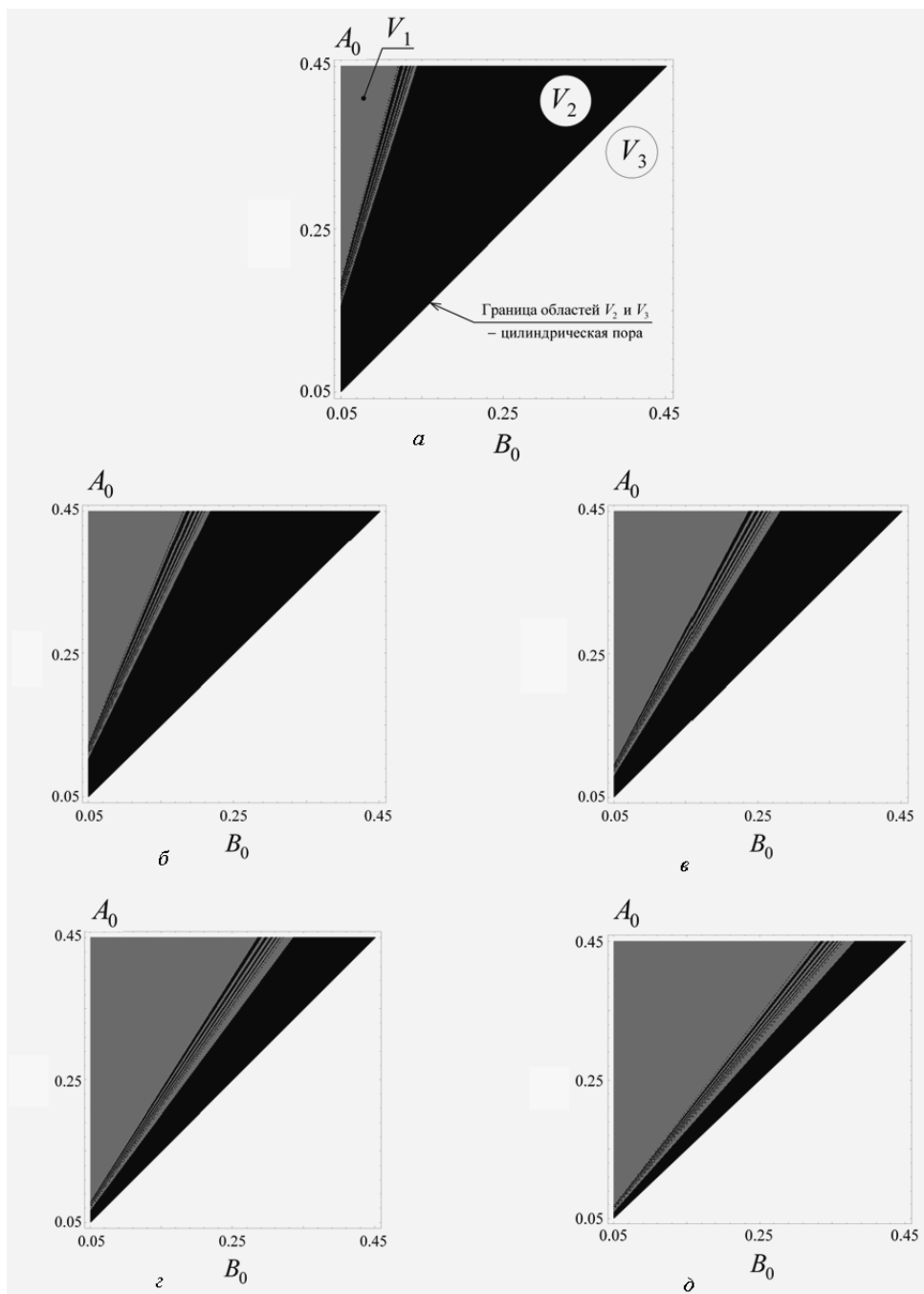


Рис. 6. Области существования периодического решения (показаны темным цветом) при различных значениях числа \bar{M} и геометрических параметров (A_0, B_0) :

a-d – \bar{M} равно соответственно 0; 0,2; 0,3; 0,4; 0,5

задачи (10) при $\gamma_1 = 6$ и осредненных числах Маха $\bar{M} \in \{0,1; 0,2; 0,3; 0,4; 0,5\}$. Из этих рисунков видно, что уменьшение площади критического сечения поровой области $V_{\xi g}$ при увеличении числа Маха \bar{M} приводит к уменьшению (исчезновению) периодического решения локальной задачи (10).

Выводы. Предложен приближенно-аналитический метод решения локальной задачи газовой динамики для периодически-пористой газонаполненной среды, который позволяет вычислять параметры газового потока в отдельной поре в зависимости от скорости движения осредненного газового потока и геометрических параметров поры. Установлено, что в зависимости от геометрической формы пор возможно существование как дозвуковых, так и сверхзвуковых режимов движения локального потока, а трансзвуковой режим не возможен.

СПИСОК ЛИТЕРАТУРЫ

1. Д и м и т р и е н к о Ю. И. Механика композиционных материалов при высоких температурах. – М.: Машиностроение, 1997. – 368 с.
2. D i m i t r i e n k o Y u. I. Dynamic Transport Phenomena in Porous Polymer Materials Under Impulse Thermal Effects. – Transport in Porous Media. – V. 35. – 1999. – P. 299–326.
3. Д и м и т р и е н к о Ю. И., И в а н о в М. Ю. Разработка численного метода решения локальной задачи нелинейной фильтрации в периодических пористых средах. – В сб.: Современные естественно-научные и гуманитарные проблемы. – М.: Логос, 2005. – С. 469–478.
4. Д и м и т р и е н к о Ю. И., И в а н о в М. Ю. Разработка метода асимптотического осреднения для решения нелинейных задач фильтрации в периодических пористых средах. – В сб.: Математика в современном мире / Под ред. Ю.А. Дробышева. – Калуга.: Изд-во КГПУ. – 2004. – С. 155–163.
5. С а н ч е с - П а л е н с и я Э. Неоднородные среды и теория колебаний: Пер. с англ. – М.: Мир, 1984. – 472 с.
6. Б а х в а л о в Н. С., П а н а с е н к о Г. П. Осреднение процессов в периодических средах. – М.: Наука. – 1984.
7. Д и м и т р и е н к о Ю. И., Г л а з и к о в М. Л. Моделирование процессов фильтрации в периодических пористых средах. – Вестник МГТУ им. Н.Э. Баумана. Сер. “Естественные науки”. – № 1. – 2003. – С. 59–71.
8. Д и м и т р и е н к о Ю. И., Г л а з и к о в М. Л. Разработка метода асимптотического осреднения для решения задач газовой динамики в пористых средах. – В сб.: Математика в современном мире / Под ред. Ю.А. Дробышева. – Калуга.: Изд-во КГПУ. – 2004. – С. 163–177.
9. Н и г м а т у л и н Р. И. Динамика многофазных сред. Ч. I. – М.: Наука, 1987. – 464 с.
10. Д и м и т р и е н к о Ю. И. Тензорное исчисление. – М.: Наука. – 2001. – 575 с.
11. С е д о в Л. И. Механика сплошной среды. Т. 2. – М.: Наука. – 1976. – 552 с.

Статья поступила в редакцию 23.04.2007